ТЕХНИКА ЯДЕРНОГО ЭКСПЕРИМЕНТА

УДК 539.1.08

ЭНЕРГЕТИЧЕСКОЕ РАЗРЕШЕНИЕ СПЕКТРОМЕТРА С КОНВЕРТЕРОМ ИЗ ОРИЕНТИРОВАННОГО КРИСТАЛЛА

© 2024 г. В. А. Басков^{а, *}

^аФизический институт им. П.Н. Лебедева Российской академии наук Россия, 119991, Москва, Ленинский просп., 53

*e-mail: baskov@x4u.lebedev.ru

Поступила в редакцию 11.03.2024 г. После доработки 02.05.2024 г. Принята к публикации 06.06.2024 г.

Ориентированный вдоль оси монокристаллический конвертер, находящийся перед электромагнитным спектрометром, меняет отклик спектрометра, регистрирующего электроны с энергиями в десятки ГэВ. При энергии электронов 26 и 28 ГэВ в зависимости от ориентации, толщины, типа кристаллического конвертора и толщины спектрометра относительное энергетическое разрешение спектрометра улучшается на величину от 15% до 80%.

DOI: 10.31857/S0032816224050042 EDN: EUCUVM

1. ВЕДЕНИЕ

При взаимодействии у-квантов, электронов и позитронов с энергией E > 100 МэВ с кристаллом в широком интервале углов входа частиц относительно кристаллографической оси (плоскости) $\Theta \sim V/m \cdot c^2 (V - \text{масштаб потенциала оси})$ или плоскости, m — масса электрона, c — скорость света) на длине формирования процессов излучения электроном (позитроном) и рождения e^+e^- -пар γ -квантом в кристалле l >> a $(где \ a - постоянная решетки)$ оказывается большое число ядер. Когерентное взаимодействие частиц с этой совокупностью ядер приводит к значительному увеличению вероятности процессов и в конечном счете приводит к развитию аномальных электромагнитных ливней [1-3].

Особенно сильный эффект при входе частиц в кристалл с энергиями в десятки ГэВ возникает при углах $\Theta << V/m \cdot c^2$ [2]. В этой области углов частица взаимодействует с полем не отдельных атомов или группой атомов, а практически со всей совокупностью атомов оси (плоскости) кристалла. Начинает работать механизм постоянного сильного поля (ПСП),

приводящий еще к более значительному росту сечений электродинамических процессов [1, 2].

Отличие электромагнитного ливня, развивающегося в поле оси или плоскости ориентированного кристалла (кристалл считается ориентированным, когда $\Theta \approx 0$, где Θ — угол между импульсом γ -кванта, электрона или позитрона и осью (плоскостью) кристалла, относительно которой происходит ориентация) от стандартного электромагнитного ливня заключается в изменении практически всех параметров ливня: числе заряженных и незаряженных частиц, величинах радиационных длин, наличием температурной и ориентационной зависимостей и т.д., что ведет к изменению отклика спектрометра, регистрирующего этот ливень [4—7].

2. СПЕКТРОМЕТР НАПРАВЛЕННОГО ДЕЙСТВИЯ

Важным результатом, выходящим из теории и экспериментальных исследований, явилась возможность использования аномальных ливней в ориентированных кристаллах в практической деятельности, а именно, в создании спектрометров направленного действия (СНД)

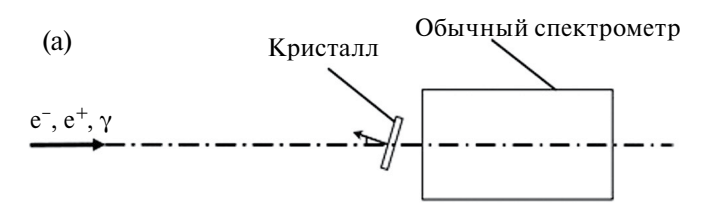
для применения в экспериментальной физике высоких энергий на ускорителях и космических исследованиях [2, 8—10].

Спектрометр направленного действия — это спектрометр полного поглощения, регистрирующий частицы в заданном направлении и представляющий из себя спектрометр с конвертером из ориентированного непрозрачного или прозрачного кристалла или спектрометр на основе непосредственно прозрачного кристалла (рис. 1а). Кристаллографическая ось конвертора или прозрачного кристалла-спектрометра направлена на источник частиц — на мишень или область взаимодействия в случае встречных пучков (рис. 1б).

В зависимости от целей установки и назначения, в которой используется СНД, в качестве

конвертера можно использовать непрозрачные кристаллы типа кремния (Si), германия (Ge), вольфрама (W) и прозрачные кристаллы типа вольфрамата (PbWO₄), граната (Gd₃Ga₅O₁₂) и т. д. [9].

Область работы СНД определяется шириной ориентационной зависимости $\Delta\Theta$ какого-либо параметра аномального ливня, например энерговыделения в детекторе, находящемся за кристаллом и регистрирующем ливень (рис. 2); $\Delta\Theta$ является полной шириной угловой зависимости энерговыделения в детекторе на половине разности между минимальным ($\Theta >> 0$) и максимальным ($\Theta \approx 0$) энерговыделениями относительно нулевого угла ориентации кристалла. Экспериментально определено, что порядок значений $\Delta\Theta$ при энергиях электронов в десятки ГэВ и толщин кристаллов кремния



Спектрометр направленного действия на основе непрозрачного кристалла



Спектрометр направленного действия на основе прозрачного кристалла

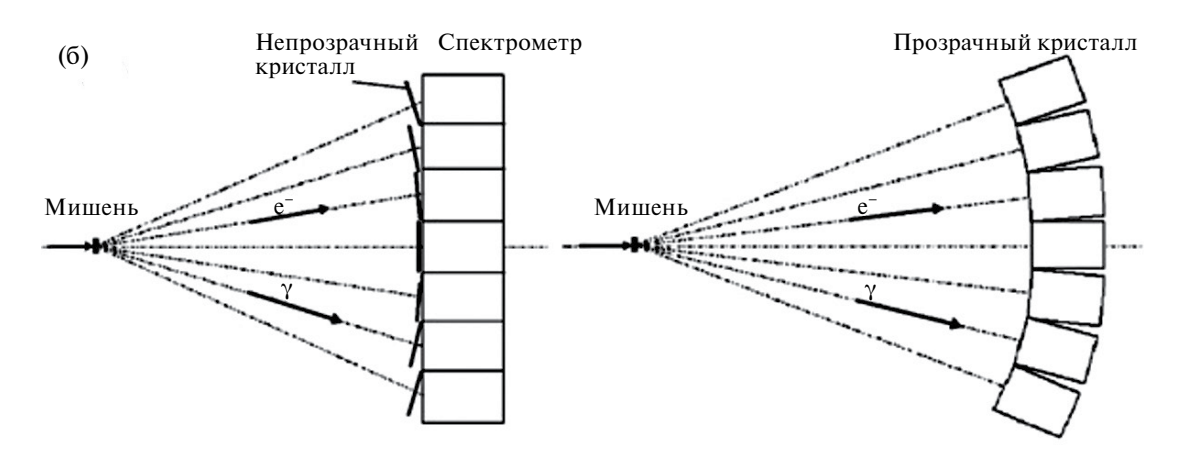


Рис. 1. Схема спектрометров направленного действия: \mathbf{a} — регистрация $\mathbf{e}^{\text{-}}$, $\mathbf{e}^{\text{+}}$, γ -квантов на основе ориентированных вдоль оси непрозрачных и прозрачных кристаллов, $\mathbf{6}$ — схема применения спектрометров направленного действия в экспериментальной установке.

и вольфрама $t_{\rm крист} \sim 0.25 X_0~(X_0$ — радиационная длина аморфного кристалла ($X_{0~\rm W}=0.35~{\rm cm},$ $X_{0~\rm Si}=9.4~{\rm cm}$)) будет составлять $\Delta\Theta_{\rm Si}\sim 1~{\rm мрад}$ и $\Delta\Theta_{\rm W}\sim 10~{\rm мрад}~[4-10].$

Из анализа сравнения существующих результатов по регистрации стандартным электромагнитным спектрометром аномальных и стандартных ливней можно сделать важное замечание, состоящее в том, что спектрометр, регистрирующий стандартные ливни, можно условно назвать пассивным спектрометром с характеристиками, заданными при проектировании, которые уточняются при тестированиях на пучках частиц. Относительно небольшое количество экспериментальных работ, в которых исследовались спектрометры с ориентированными конверторами, показывают, что система "ориентированный конвертор – спектрометр" является условно активным спектрометром, поскольку ориентированный конвертор оказывает значительное влияние на отклик и характеристики спектрометра. Вотличие от отклика пассивного спектрометра, отклик активного спектрометра может меняться, уходя от конструктивно заданных параметров, при изменении параметров конвертора: типа, толщины, угла ориентации, температуры, потенциала оси ориентации [7].

В целом, можно считать, что пассивный спектрометр является частным случаем активного спектрометра при отсутствии или разориентации конвертора [4, 11, 12].

Поскольку ориентированный конвертор меняетотклик пассивного спектрометра наотклик активного спектрометра, то меняется и такая важнейшая характеристика электромагнитного спектрометра, как энергетическое разрешение.

В работе представлены результаты экспериментальных исследований энергетического разрешения электромагнитного спектрометра с ориентированным непрозрачным кристаллическим конвертором.

3. УСТАНОВКА "КАСКАД"

Работа была выполнена на установке "Каскад" на электронном канале ускорителя института физики высоких энергий (ИФВЭ, Протвино) в рамках программы изучения эффектов квантовой электродинамики в сильных полях ориентированных кристаллов [13].

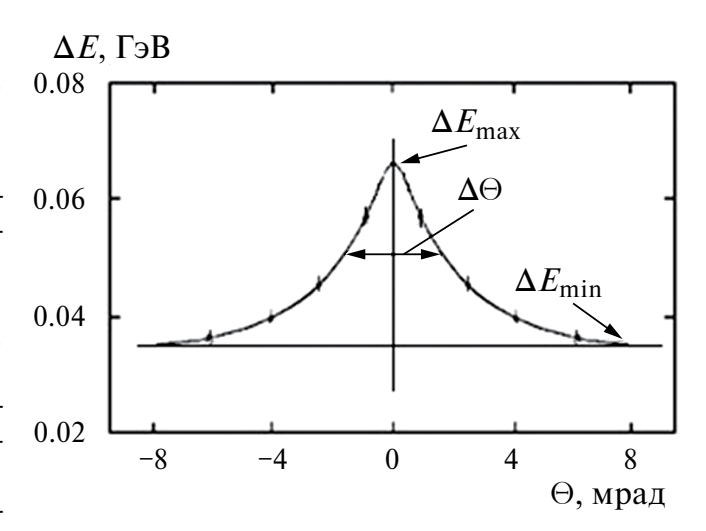


Рис. 2. Схема определения ширины ориентационной зависимости $\Delta Q_{\Delta E}$ энерговыделения электромагнитного ливня в черенковском счетчике толщиной $1X_0$, выходящего из кристалла вольфрама толщиной $t_{\rm W}=1$ мм: E=28 ГэВ, $T_{\rm W}=77{\rm K}$, ось <111>.

Схема экспериментальной установки "Каскад" представлена на рис. 3 [14]. В работе использовались непрозрачные конверторы из кристаллов вольфрама (W) диаметром 20 мм толщинами 1, 2.7, 5.8 и 8.4 мм и кристалла кремния (Si) толщиной 20 мм. Исследования проводились при комнатной температуре кристаллов $T_1 = 293$ К и температуре жидкого азота $T_2 = 77$ К. Ориентация кристаллов вольфрама происходила

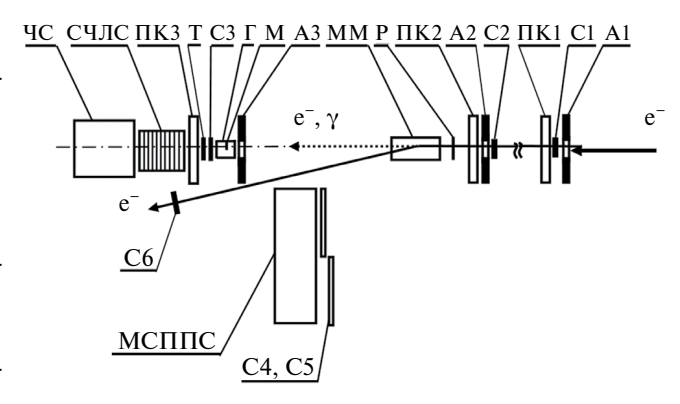


Рис. 3. Схема экспериментальной установки "Каскад": A1-A3 и C1-C6 — сцинтилляционные счетчики, ПК1-ПК3 — пучковые пропорциональные камеры, Р — радиатор, ММ — магнит системы мечения фотонов, Г — гониометр, М — кристаллический конвертор, Т — сцинтилляционный счетчик для регистрации заряженных частиц ливня, СЧЛС — составной черенковский ливневый спектрометр, ЧС — черенковский спектрометр; МСППС — многоканальный свинцово-сцинтилляционный спектрометр полного поглощения.

вдоль кристаллографической оси <111>, кристалла кремния вдоль оси <110>. Разориентированным или аморфным считался кристалл, ось которого была повернута относительно импульса пучка электронов в сторону от кристаллографической оси на углы $\Theta_{\rm W} > 20$ мрад и $\Theta_{\rm Si} > 4$ мрад. Мозаичность кристаллов вольфрама и кремния составляла $\Delta\Theta_{\rm M\,W} = 1$ мрад и $\Delta\Theta_{\rm MSi} < 0.5$ мрад. В эксперименте использовались пучки электронов с энергиями E = 26, 28 и 31 ГэВ с импульсным разбросом 0.76 ГэВ/с и расходимостью $|\upsilon| \le 0.1$ мрад. Диапазон энергий фотонных пучков составлял 3—28 ГэВ.

Ливни, выходившие из кристалла, регистрировались составным черенковским ливневым спектрометром (СЧЛС), в котором по анализу формы каскадных и интегральных кривых определялись характеристики электромагнитных ливней [15].

СЧЛС состоял из 10 независимых светоизолированных счетчиков (радиаторов) из свинцового стекла ТФ1 (рис. 4а). Счетчики имели одинаковый размер $100 \times 100 \text{ мм}^2$ и толщину $1X_0 = 25 \text{ мм}$. Сигнал с каждого счетчика регистрировался фотоэлектронным умножителем ФЭУ-85.

Для сбора оставшейся части ливня за СЧЛС помещался черенковский спектрометр (ЧС)

вдоль кристаллографической оси <111>, кристалла кремния вдоль оси <110>. Разориенный радиатор из свинцового стекла ТФ1 с диатированным или аморфным считался кристалл, ось которого была повернута относительно импульса пучка электронов в сторону от кристакже использовался для калибровки СЧЛС.

Конструкция последовательного расположения счетчиков СЧЛС и ЧС дала возможность в эксперименте и последующей обработке экспериментальных результатов суммировать сигналы отдельных счетчиков и формировать различные толщины спектрометра, находящегося за кристаллом, от $1X_0$ до $10X_0$ и толщину суммарного спектрометра СЧЛС+ЧС равную $25X_0$.

Калибровка СЧЛС и ЧС была проведена на пучках электронов с энергиями 26 и 28 ГэВ в два этапа [14,15]. На первом этапе была проведена калибровка ЧС, на втором этапе перед ЧС был помещен СЧЛС и прокалиброван суммарный спектрометр (ЧСПП+ЧС). При калибровке перед ЧСПП и перед суммарным спектрометром кристаллический конвертор отсутствовал.

4. КАСКАДНЫЕ КРИВЫЕ РАЗВИТИЯ ЭЛЕКТРОМАГНИТНЫХ ЛИВНЕЙ

На рис. 5 приведены каскадные кривые развития электромагнитных ливней от электронов с энергией 26 ГэВ, выходящие из разориентированных (а) и ориентированных вдоль оси

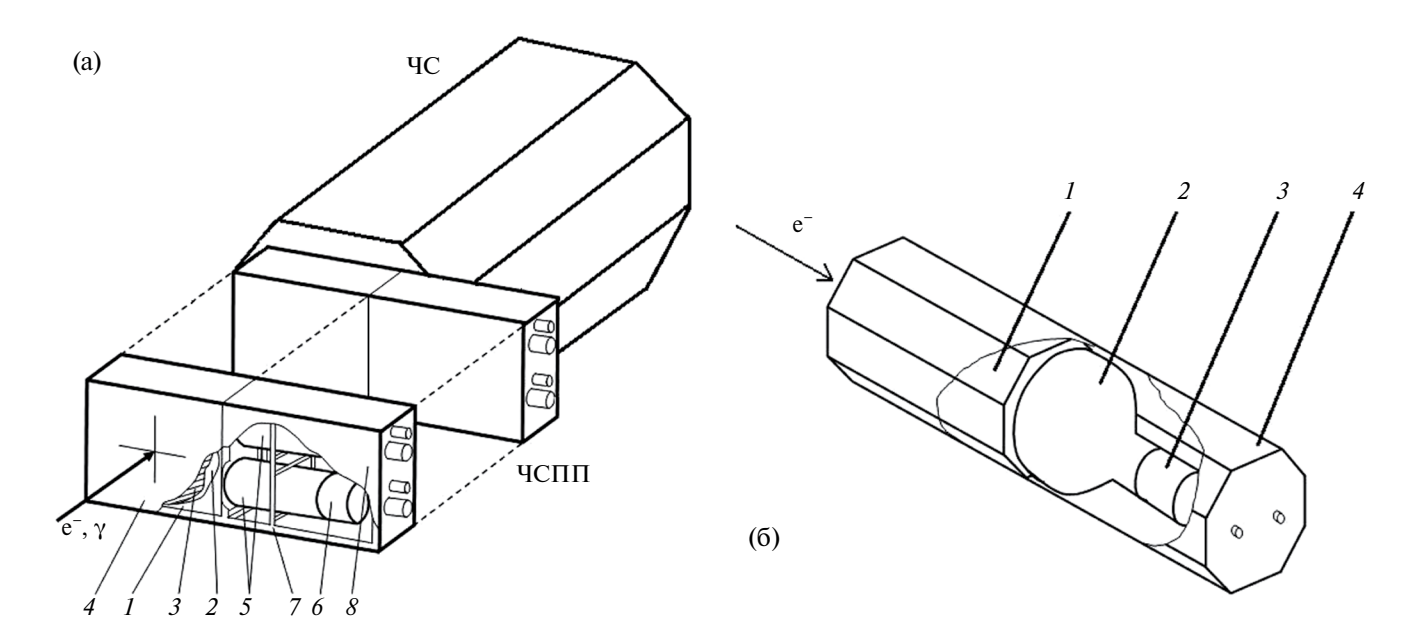
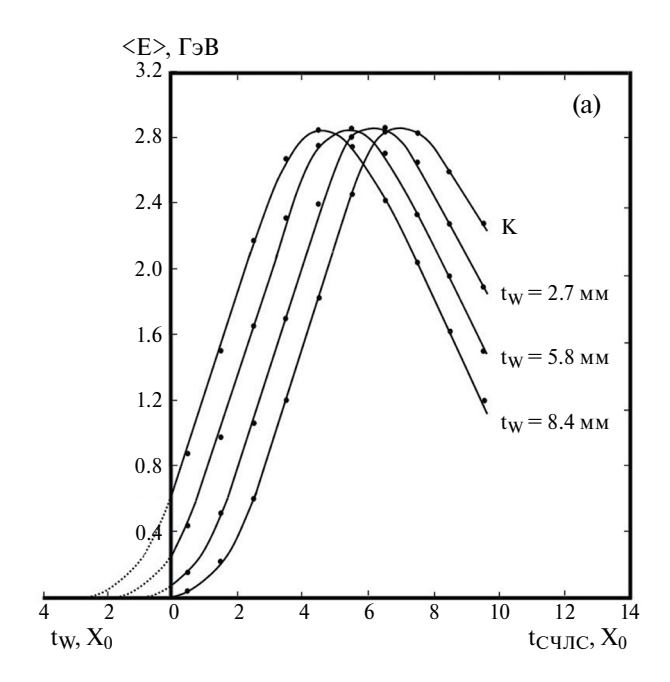


Рис. 4. а — Схема ЧСПП и расположения ЧСПП и ЧС на пучке: I — радиатор; 2 — аллюминированный майлар, 3 — черная светонепроницаемая бумага, 4 — черная изоляционная лента, 5 — ФЭУ-85, 6 — делитель, 7 — крепления радиатора, ФЭУ и делителей, 8 — корпус. 6 — Схема ЧС: I — радиатор, 2 — ФЭУ-49, 3 — делитель, 4 — корпус.



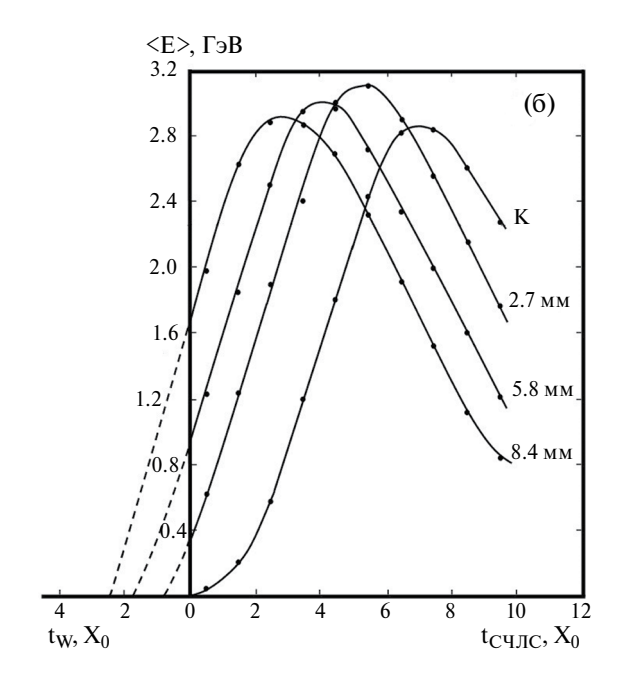


Рис. 5. Каскадные кривые развития электромагнитного ливня в СЧЛС от электронов с энергией $E_{\rm e} = 26$ ГэВ в зависимости от толщины разориентированных (а) и ориентированных вдоль оси <111> (б) кристаллов вольфрама перед СЧЛС, K — калибровка (кристалл перед СЧЛС отсутствует).

<111> (б) кристаллов вольфрама 2.7, 5.8 и 8.4 мм при комнатной температуре $T_{\rm W} = 293$ К, и далее продолжающих развиваться в СЧЛС [5]. На рисунке по оси абсцисс отложена толщина спектрометра СЧЛС ($t_{\rm CЧЛС}$) в радиационных длинах, по оси ординат отложена средняя энергия ливня (ΔE), оставленная им в каждом счетчике спектрометра. Кривая K — калибровочная кривая, относится к отсутствию перед СЧЛС кристаллического конвертора. В этом случае начало развития ливня приходится на первый счетчик СЧЛС.

5. ЭНЕРГЕТИЧЕСКОЕ РАЗРЕ-ШЕНИЕ ЭЛЕКТРОМАГНИТНЫХ СПЕКТРОМЕТРОВ

5.1. Среднеквадратичное разрешение

На рис. 6 показаны зависимости среднеквадратичного разрешения σ спектра энерговыделения ливня в счетчиках СЧЛС разной толщины и суммарного спектрометра (σ = FWHM/2.35, где FWHM — полная ширина на половине высоты спектра энерговыделения ливня в счетчиках, 2.35 = 2 (ln2)· $\sqrt{2}$).

При разориентированном и ориентированном состояниях конвертора перед суммарным спектрометром поведение о от толщины

спектрометра имеет качественно одинаковый характер развития ливня в СЧЛС, наблюдавшийся в [4]. Величина о "тонкого" (2.7 мм) ориентированного конвертора в максимуме развития ливня при $t_{\text{СЧЛС}} \sim 5 - 8X_0$ изменилась несильно относительно разориентированного состояния. Однако в обоих случаях значения о уменьшилась примерно на 25% относительно значения, полученного при калибровке спектрометра (конвертор отсутствует). При ориентации "толстых" конверторов (5.8 и 8.4 мм) величина о уменьшилась еще примерно на 35% и уменьшение в сумме для этих конвертеров составило порядка 60% (рис. 5б). При толщинах СЧЛС $t_{\text{СЧЛС}} \ge 5-8X_0$ и ориентированном конверторе хорошо видна сильная зависимость о от толщины конвертора.

На рис. ба видно стандартное поведение зависимости σ от толщины разориентированного конвертора [16]. Иное поведение σ наблюдается при наличии ориентированного конвертора перед суммарным спктрометром (рис. 6б). Особенно значительные различия наблюдаются для "толстых" кристаллов 5.8 мм и 8.4 мм.

Действительно, при ориентации кристалла качественно меняется суть конвертора, так как он из пассивного элемента конструкции спектрометра переходит в активный. В пассивном

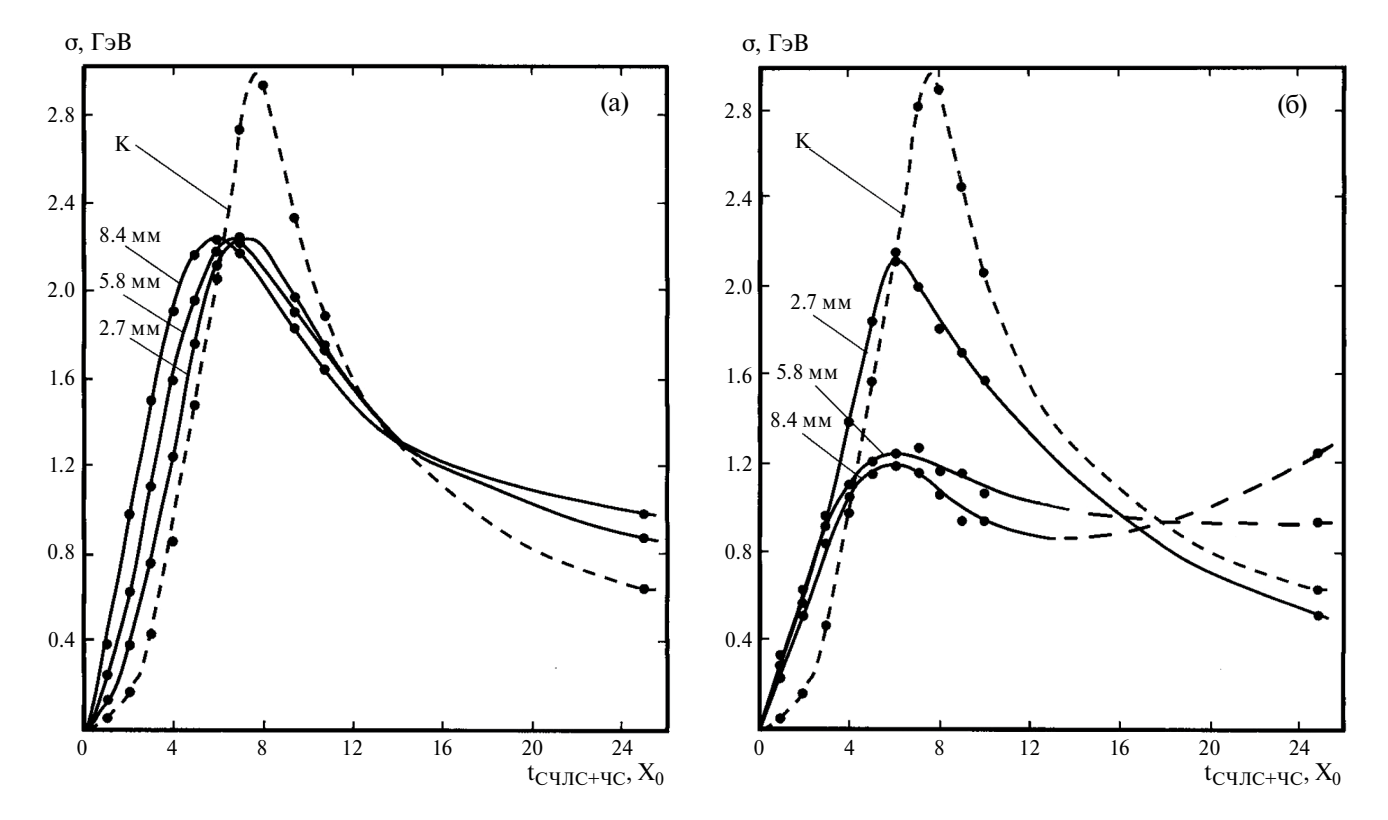


Рис. 6. Зависимость среднеквадратичного разрешения σ спектрометра СЧЛС+ЧС от его толщины $t_{\text{СЧЛС+ЧС}}$ и толщины разориентированного (a) и ориентированного вдоль оси <111> вольфрамового кристаллического конвертора (б); $E = 26 \, \Gamma$ эВ, $T_{\text{W}} = 293 \, \text{K}$, K — калибровка ($t_{\text{W}} = 0$), толщины кристаллов показаны слева от кривых.

конверторе флуктуации в веществе конвертора значительные и увеличиваются с толщиной конвертора (рис. 5а) [17]. Взаимодействие ливневых частиц с атомными ядрами, т.е. излучение электронов и рождение e^+e^- -пар γ -квантами происходит по стандартному механизму Бете—Гайтлера [1, 2].

Развитие аномального ливня в ориентированном конверторе с последующем выходом из конвертора и дальнейшем развитием в аморфном веществе спектрометра имеет более сложный характер. В активном конверторе ливень развивается в электромагнитном поле большого числа ядер, ливневые частицы когерентно взаимодействуют с атомными ядрами. В поле кристаллографической оси возникают также процессы каналирования ливневых частиц с последующим излучением электронами и позитронами и рождением е⁺е⁻-пар фотонами. По мере развития ливня из-за уменьшения энергии ливневых частиц возрастает процесс рассеяния заряженных частиц на атомах кристаллографической оси и выход части частиц за пределы области когерентного взаимодействия ливневых частиц с атомами оси (процесс

дезориентации). Вышедшие из области электромагнитного поля оси частицы снова начинают взаимодействовать с отдельными атомами. Однако из-за того же процесса рассеяния часть ливневых частиц обратно входит в область сильного осевого электромагнитного поля, продолжая процесс развития аномального ливня.

При выходе аномального ливня из кристалла его дальнейшее развитие продолжается, а аморфном веществе спектрометра с взаимодействием вторичных ливневых частиц уже с аморфным веществом. Однако эксперименты и рис. 56 и 66 показывают, что по выходу из кристалла аномальность ливня сохраняется. Особенно сильно отличие аномальных ливней от стандартных наблюдается при развитии ливня в "толстых" кристаллах 5.8 мм и 8.4 мм.

При таких толщинах кристаллов и $t_{\text{СЧЛС}} \approx 5-8X_0$ значения σ примерно на 45% меньше, чем при толщине кристалла $t_W = 2.7$ мм. Это означает, что число ливневых частиц значительно и величины флуктуаций меньше, чем в случае тонких кристаллов. Однако в области толщин СЧЛС, $t_{\text{СЧЛС}} > 8X_0$, зависимости σ

для всех трех исследованных толщин кристаллов существенно различаются. Это можно объяснить тем, что по мере увеличения толщины кристалла поглощение вторичных ливневых частиц значительное, что приводит к увеличению объяснием.

5.2. Относительное энергетическое разрешение

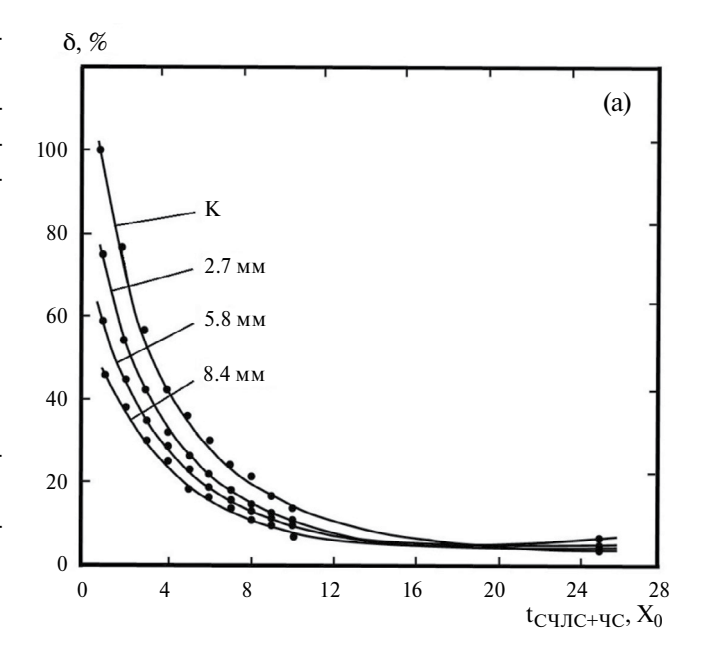
Относительное энергетическое разрешение СЧЛС и суммарного спектрометра (СЧЛС+ЧС) $\delta = \sigma/\Delta E$ ($\Delta E - д$ оля энергии ливня, поглощенная спектрометром соответствующей толщины) в зависимости от толщины спектрометра и толщины кристалла, находящегося перед ним, при энергии электронов 26 ГэВ показано на рис. 7 и 8 соответственно [18].

При различных длинах спектрометра наблюдается существенное (в 2—5 раз) улучшение энергетического разрешения суммарного спектрометра по сравнению с разрешением спектрометра без кристалла и с разориентированным кристаллом.

6. ОПТИМАЛЬНАЯ ТОЛЩИНА КРИСТАЛЛА И СПЕКТРОМЕТРА

На рис. 8 видно, что при данной энергии пучка электронов при разориентированном и ориентированном состояниях конвертора существует некоторая оптимальная толщина кристалла (t_{Wopt}), соответствующая оптимальной толщине спектрометра (t_{CCopt}), при которой относительное энергетическое разрешение спектрометра наилучшее $\delta = \delta_{min}$. На рис. 9 представлено соотношение оптимальных толщин кристаллического вольфрамового конвертора перед спектрометром (t_{Wopt})) и толщин спектрометра (t_{CCopt}), при которых относительное энергетическое разрешение суммарного спектрометра наилучшее.

Этот эффект связан с двумя процессами. Первый — увеличение числа вторичных ливневых частиц при развитии ливня по мере увеличения толщины спектрометра и снижение относительной величины флуктуаций, второй — усиление процесса поглощения ливневых частиц и увеличение величины флуктуаций. При определенных толщинах конвертора и спектрометра наступает некоторое равновесие



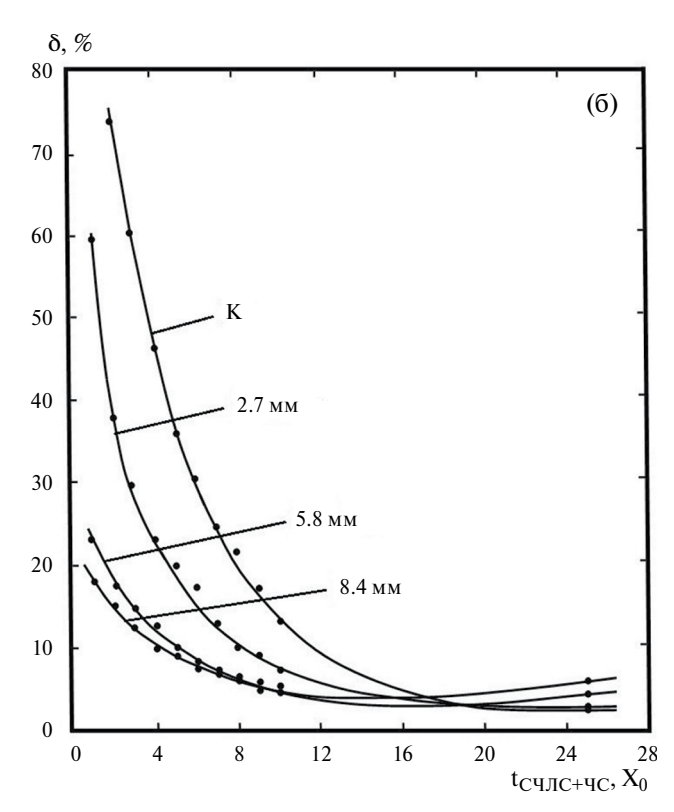


Рис. 7. Зависимость относительного энергетического разрешения суммарного спектрометра от его толщины $t_{\rm CC}$ при разориентированном (a) и ориентированном вдоль оси <111> вольфрамовом кристаллическом конверторе (б), $E=26~\Gamma
ightarrow B$, Tw=293K, K- калибровка ($t_{\rm W}=0$).

процессов, при котором относительное энергетическое разрешение спектрометра достигает оптимальной или наилучшей величины $\delta = \delta_{min}$.

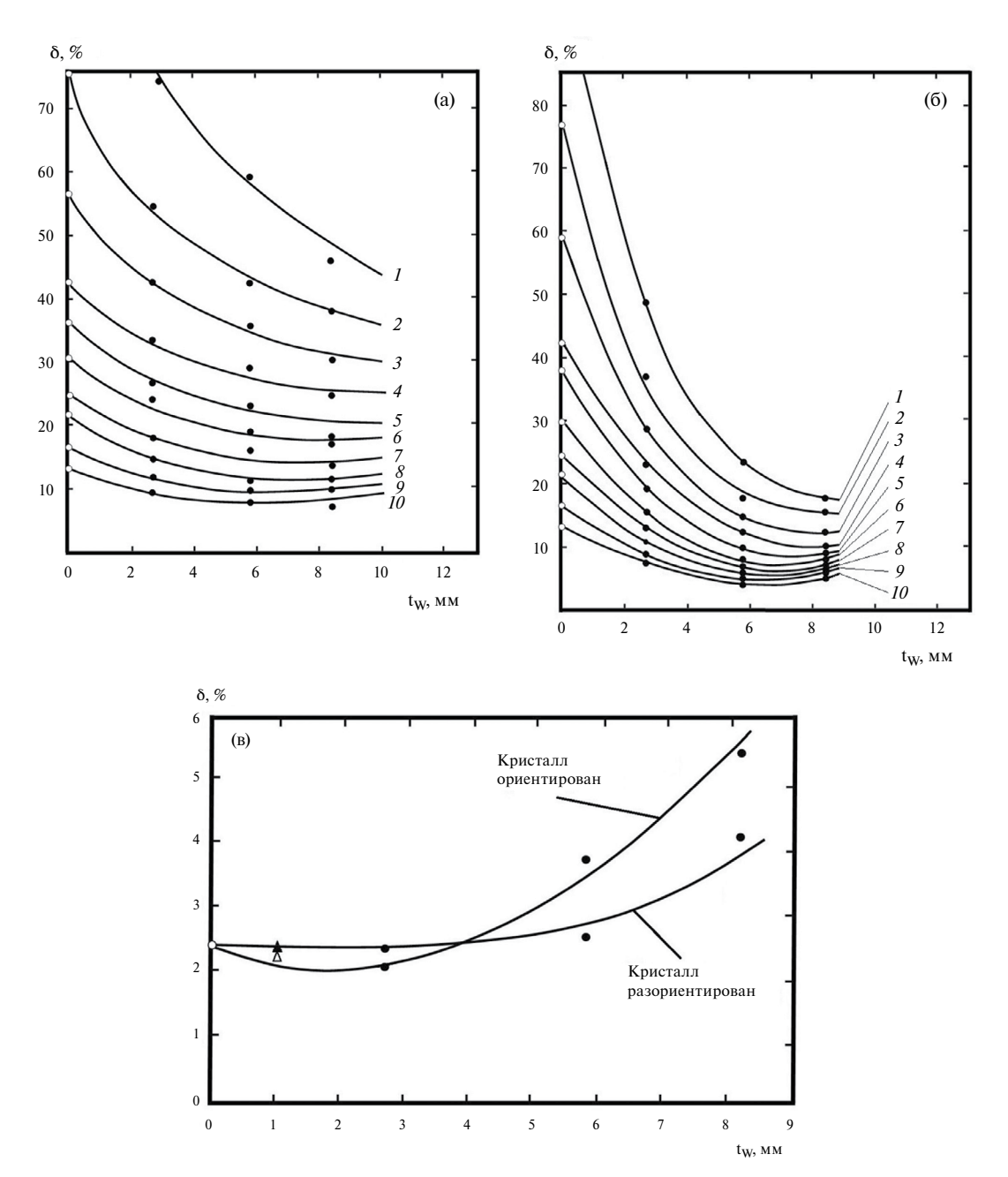


Рис. 8. Зависимость относительного энергетического разрешения суммарного спектрометра от толщины вольфрамового кристаллического конвертора $t_{\rm W}$; толщина спектрометра СЧЛС в радиационных длинах показана справа от кривых; $E=26~{\rm ГэВ}, {\rm o}-{\rm калибровка}, {\rm \bullet}-t_{\rm w}=293{\rm K}; {\rm \bullet}, {\rm \Delta}-t_{\rm w}=77{\rm K}; {\rm a}-{\rm конвертор}$ разориентирован, ${\rm 6}-{\rm конвертор}$ ориентирован вдоль оси <111>, ${\rm 8}-{\rm суммарный}$ спектрометр ($t_{\rm СЧЛС}+{\rm чC}=25X_0$; ${\rm \bullet}$ и ${\rm \Delta}-{\rm конвертор}$ разориентирован и ориентирован вдоль оси <111> соответственно).

7. ОРИЕНТАЦИОННЫЕ ЗАВИСИМОСТИ ОТНОСИТЕЛЬНОГО ЭНЕРГЕТИЧЕСКОГО РАЗРЕШЕНИЯ

Поскольку параметры электромагнитного ливня, развивающегося в ориентированном монокристаллическом конверторе, и, соответственно, параметры отклика спектрометра зависят от степени ориентации

кристаллографической оси или плоскости конвертора относительно оси пучка электронов или γ -квантов [2, 3, 5, 10], то и δ также должна иметь ориентационную зависимость $\Delta\Theta_{\delta}$. Наличие ориентационной зависимости и ее ширины $\Delta\Theta_{\delta}$ является важным вопросом, поскольку остается интерес применения ориентированных кристаллов в экспериментальной технике [19, 20].

На рис. 10 показаны ориентационные зависимости δ при регистрации электромагнитных ливней первым счетчиком СЧЛС толщиной $1X_0$ для конверторов из кристаллов вольфрама (<111>) (а) и кремния (<110>) (б), полученные при энергии электронов 26 и 28 ГэВ.

Для обоих типов кристалла видно существенное уменьшение δ при уменьшении угла ориентации. С увеличением толщины кристалла δ также улучшается, но при этом увеличивается ширина ориентационной зависимости $\Delta\Theta_{\delta}$.

На рис. 10 видно, что при одинаковой энергии электронов δ в случае кристалла вольфрама несколько хуже, чем в случае кристалла кремния, даже с учетом существенно низкой температуры кристалла вольфрама, при которой δ должна быть еще меньше [21]. Этот эффект, возможно, связан с худшей степенью совершенства кристалла или мозаичностью вольфрама по сравнению с кристаллом кремния.

Зависимость $\Delta\Theta_{\delta}$ от толщины и типа кристалла при регистрации аномальных ливней первым счетчиком СЧЛС представлена на рис. 11. Видно, что зависимость линейная и ее можно описать простой формулой: $\Delta\Theta_{\delta} = \alpha \cdot t_{\rm W}$, где $t_{\rm W}$ — толщина кристалла в радиационных длинах ($t_{\rm W}$ [радиационная длина] = $t_{\rm W}$ [мм]/ $X_{\rm 0}$ [мм]), α — коэффициент пропорциональности. В данном случае α = 12.5 мрад/рад.длин. В общем случае ширина ориентационной зависимости зависит от энергии частиц ($\Delta\Theta \sim E^{-1/2}$ [22, 23]) и поэтому величина α также должна зависеть от энергии.

Более детально соотношение между δ и шириной ориентационной зависимости $\Delta\Theta_{\delta}$

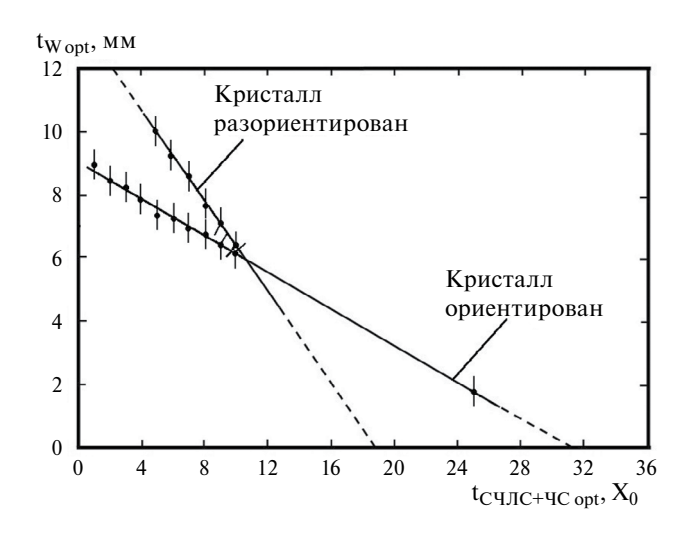
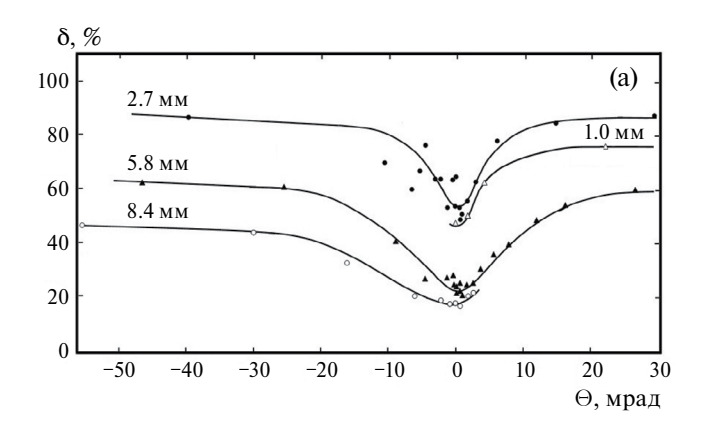
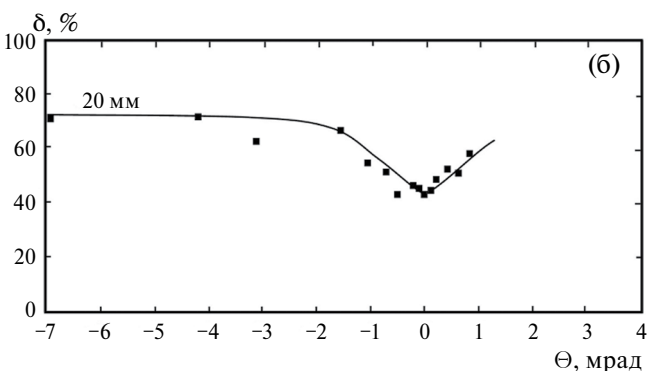


Рис. 9. Соотношение оптимальных толщин кристаллического вольфрамового конвертора перед суммарным спектрометром $(t_{W \text{ opt}})$ и толщин суммарного спектрометра $(t_{CC \text{ opt}})$, при которых относительное энергетическое разрешение суммарного спектрометра наилучшее.

кристаллов вольфрама и кремния показано на рис. 12. Действительно, δ улучшается с увеличением толщины кристалла и увеличением $\Delta\Theta_{\delta}$. Можно предположить, что по мере увеличения толщины кристалла увеличивается число вторичных ливневых частиц, приводящее к уменьшению числа флуктуаций. С другой стороны, увеличивается рассеяние ливневых частиц на атомных ядрах кристалла, приводящее к увеличению $\Delta\Theta_{\delta}$.

Надо отметить, что на рис. 5–8, 10 линии, описывающие экспериментальные результаты,





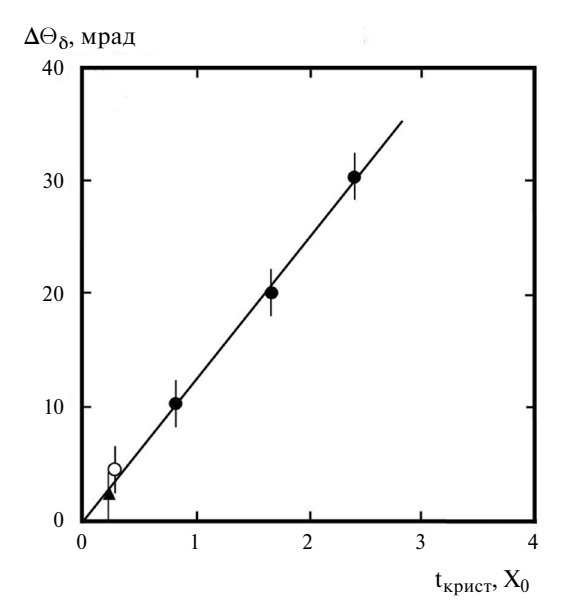


Рис. 11. Зависимость ширины ориентационной зависимости относительного энергетического разрешения $\Delta\Theta_{\delta}$ первого счетчика СЧЛС от толщины $t_{\text{крист}}$ кристалов вольфрама (•, o, <111>) и кремния (•, <110>): • -E=26 ГэВ, $T_{\text{W}}=293$ К; o, • -E=28ЭГэВ, $T_{\text{W}}=77$ К, $T_{\text{Si}}=293$ К.

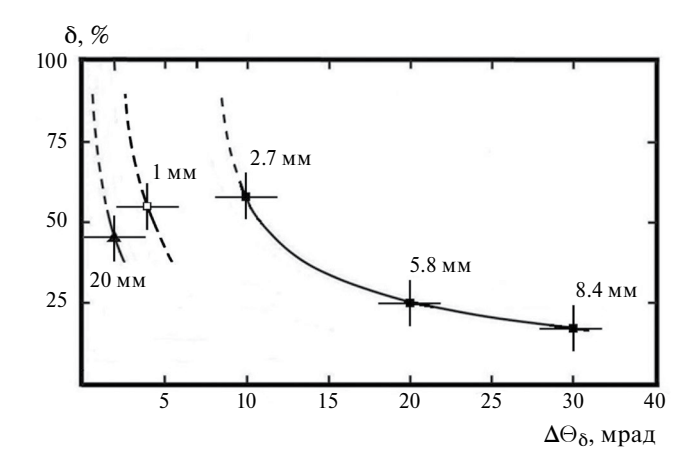


Рис. 12. Соотношение между относительным энергетическим разрешением δ первого счетчика СЧЛС и шириной ориентационной зависимости $\Delta\Theta_{\delta}$ кристаллов вольфрама (•, •) и кремния (•): • -E=26 ГэВ, $T_{\rm W}=293{\rm K}$; •, • -<110>. • -<110>.

проведены для наглядности. Погрешности значений энергетического разрешения определялись процедурой подгонки амплитудных спектров полиномом стандартной программы OriginPro 9.0 и составили 15—20% от значений величин, представленных на рисунках.

8. ЗАКЛЮЧЕНИЕ

Результаты исследования энергетического разрешения электромагнитного спектрометра с конвертором из ориентированного кристаллического конвертора показывают, что:

- ориентированный кристаллический конвертор перед спектрометром влияет на энергетическое разрешение спектрометра в сторону его улучшения;
- для каждой толщины спектрометра существует толщина кристаллического конвертора,
 при котором его энергетическое разрешение наилучшее;
- ширина ориентационной зависимости относительного энергетического разрешения пропорциональна толщине кристаллического конвертора, коэффициент пропорциональности должен зависеть от энергии частиц;
- применение ориентированных конверторов предпочтительно при высоких энергиях, поскольку переводит обычный спектрометр в спектрометр направленного действия, что дает возможность уменьшить толщину спектрометра и улучшить его энергетическое разрешение.

БЛАГОДАРНОСТИ

Автор выражает благодарность Е.И. Тамму и Е.И. Малиновскому за поддержку работы; В.И. Сергиенко за практическое руководство; В.В. Ким и В.А. Хабло, а также Б.И. Лучкову (НИЯУ МИФИ) и В.Ю. Тугаенко (РКК "Энергия") за помощь в работе.

СПИСОК ЛИТЕРАТУРЫ

- *Uggerhoj U.I.* // Reviews of Modern Physics. 2005.
 V. 77. P. 1131. https://doi.org/10.1103/RevModPhys.77.1131
- 2. *Байер В.Н., Катков В.М., Страховенко В.М.* Электромагнитные процессы при высокой энергии в ориентированных монокристаллах. Новосибирск: Наука, 1989.
- 3. *Ахиезер А.И., Шульга Н.Ф. //* ЖЭТФ. 1983. Т. 85. С. 94.
- 4. *Басков В.А.* // КСФ. 2012. № 10. С.28. https://doi.org/10.3103/S1068335612100041
- 5. Басков В.А., Ким В.В., Лучков Б.И., Тугаенко В.Ю., Хабло В.А. // КСФ. 2013. № 5. С. 3. https://doi.org/10.3103/S1068335613050011
- 6. *Басков В.А.* // КСФ. 2015. № 4. С. 3. https://doi.org/10.3103/S1068335615040016

- 7. *Басков В.А.* // Письма в ЖЭТФ. 2014. Т. 99. С. 785. https://doi.org/10.7868/S0370274X14120017
- 8. *Soldani M., Bandiera L., Moulson M. et al.* // Eur. Phys. J. C. 2023. V. 83. P. 101. https://doi.org/10.1140/epjc/s10052-023-11247-x
- 9. Басков В.А., Ким В.В., Лучков Б.И., Тугаенко В.Ю., Хабло В.А. // Труды сессии-конференции ЯФ ОФН РАН "Физика фундаментальных взаимодействий", ИТЭФ, Москва, 2011. С. 16. http://matras.itep.ru/npd2kl/Malyi_za/24_november/ba/Pt
- 10. *Зверев В.Г., Лучков Б.И., Тугаенко В.Ю.* Космофизика. Москва: Энергоиздат, 1987. С. 71.
- 11. *Басков В.А.* // КСФ. 2016. № 5. С. 3. https://doi.org/10.3103/S1068335616050018
- 12. *Басков В.А.* // КСФ. 2014. №3. С.32. https://doi.org/10.3103/S1068335614030051
- 13. *Байер В.Н.*, *Басков В.А.*, *Ганенко В.Б. и др.* Препринт ФИАН №204. Москва, 1988.
- 14. *Baskov V.A., Khablo V.A., Kim V.V., Sergienko V.I.* // Nucl. Instrum. Methods. Phys. Res. A. 1990. V. 297. P. 329. https://doi.org/10.1016/0168-9002(90)91315-3
- 15. Басков В.А., Белоусов А.С., Ким В.В., Малиновский Е.И., Усик А.П., Хабло В.А // ПТЭ. 2011. Т. 5. С. 66.

- Басков В.А. // Письма в ЖЭТФ. 2014. Т. 99. С. 785. 16. Словинский Б. // ЭЧАЯ. 1994. Т. 25. № 2. С. 417.
 - 17. *Горячев В. Н., Денисов С. П. //* Ядерная физика и инжиниринг. 2021. Т. 12. № 4. С. 229. https://doi.org/10.56304/S2079562920060275
 - 18. Басков В.А., Говорков Б.Б., Ким В.В., Лучков Б.И., Сергиенко В.И., Тугаенко В.Ю., Хабло В.А. // КСФ. 1992. № 9/10. С. 41.
 - 19. *Tikhomirov V.V.*, *Haurylavets V. V.*, *Lobko A. S.*, *Mechinsky V. A.* // Engineering of Scintillation Materials and Radiation Technologies (ISMART 2016). 2017. V. 200. P. 259. https://doi.org/10.1007/978-3-319-68465-9 16
 - 20. Elsener K., Møller S.P., Petersen J.B.B., Uggerhøj E. // Cosmic Gamma Rays, Neutrinos, and Related Astrophysics. NATO ASI Series. V. 270. P 457. https://doi.org/10.1007/978-94-009-0921-2 31
 - 21. *Басков В.А., Ким В.В., Лучков Б.И., Тугаенко В.Ю., Хабло В.А.* // КСФ. 2012. № 8. С. 16. https://doi.org/10.3103/S1068335612080039
 - 22. Басков В.А., Ким В.В., Лучков Б.И., Тугаенко В.Ю., Хабло В.А. // КСФ. 2013. № 4. С. 35. https://doi.org/10.3103/S1068335613040052
 - 23. Басков В.А., Ким В.В., Лучков Б.И., Тугаенко В.Ю., Хабло В.А. // КСФ. 2011. № 6. С. 8. https://doi.org/10.3103/S1068335611060029